

ьны-
ястью
вных
нием

изло-
зани-
ппо-
лов-
орых
едо-
пре-
роль
, но
иро-
на и
елей
реп-
ется
ора,
рми-
ями
одя-
ко-
олее
нут-
ден-
ютки
ения
икое
лько
ефф-
на-
ного

есту
имп-
ны-
офе-
зла

ctro-
ant-
the
ined
pre-

1. Айрапетьянц Э. Ш., Сотников Т. С. Лимбика.—Л.: Наука, 1967.—117 с.
2. Вавилова Н. М. Влияние повреждения гиппокампа на следовые двигательные рефлексы у собак разного возраста // Журн. высш. нерв. деятельности.—1974.—24, № 4.—С. 720—727.
3. Вайнштейн И. И., Пигарева М. Л. Влияние повреждения гиппокампа на эмоциональное напряжение у крыс // Там же.—1979.—29, № 4.—С. 776—781.
4. Воронин Л. Г. Сравнительно-физиологические данные о роли гиппокампа в условно-рефлекторной деятельности // Структура и функция архипалеокортекса.—М., 1968.—С. 181—196. (Гагр. беседы; Т. 5).
5. Гамbarян Л. С., Коваль И. Н., Гарифян А. А., Саркисян Ж. С. Условные двигательные рефлексы у кошек при повреждении гиппокампа // Журн. высш. нерв. деятельности.—1972.—22, № 6.—С. 1158—1165.
6. Дзидзишвили Н. Н., Унгшадзе А. А., Давитуладзе Д. Ш. Влияние повреждения дорсального и вентрального гиппокампа на краткосрочную память кошки // Там же.—1975.—25, № 1.—С. 70—77.
7. Дуглас Р. Д. Снова к Павлову // Механизмы формирования и торможения условных рефлексов.—М., 1973.—С. 371—392.
8. Нуцубидзе М. А. Эмоциональная и замыкательная функции лимбической системы.—Тбилиси : Мечниереба, 1969.—188 с.
9. Пигарева М. Л. Переключение однородных (пищевых) условных рефлексов у крыс после одновременного повреждения гиппокампа и мицадалины // Журн. высш. нерв. деятельности.—1980.—30, № 4.—С. 710—718.
10. Черкес В. А. Передний мозг и элементы поведения.—Киев : Наук. думка, 1978.—173 с.
11. Fiškova E., Marsala J. Stereotaxic podkorkovych struktur mozku krysy, kralika a kostry.—Praha, Statni Zdrav. nakl.—1960.—116 p.
12. Karmos G., Grastyán E. Influence of hippocampal lesions on simple and delayed conditional reflexes // Acta physiol. acad. scient. hung.—1962.—21, N 3.—P. 215—224.

Ин-т физиологии Киев. ун-та
им. Т. Г. Шевченко МВССО УССР

Поступила 20.12.83

УДК 612.825.263:822.3

Реакции нейронов моторной коры мозга кошки на раздражение теменной ассоциативной области

И. И. Коренюк

Функциональные связи между теменной ассоциативной областью (ТАО), в нейронах которой происходит сложная интеграция и переработка сигналов, поступающих из разных сенсорных систем, и моторной корой (МК) играют существенную роль в формировании двигательных команд [1, 4, 5, 11, 18, 20, 25]. Ряд авторов считают, что нейроны ТАО сообщают нейронам моторных областей коры информацию, необходимую для правильного направления движений во внешнем пространстве [17, 23]. При этом подчеркивается, что нервные клетки поля 5 осуществляют тонкое регулирование движений на основе соместетического анализа, а нейроны поля 7 — на основе зрительного. Кроме того, высказано предположение, согласно которому ТАО — один из центров запуска произвольных движений, обеспечивающих осознательное (ручное) и зрительное исследование объектов окружающей среды, вызывающих интерес животного и находящихся в пределах его досягаемости [3, 14, 21, 24]. Однако, несмотря на существенную роль функциональных связей ТАО с МК, нейронные механизмы, лежащие в основе влияния ТАО на нейроны МК, мало исследованы.

Цель настоящей работы — изучение реакций нервных клеток МК, развивающихся на стимуляцию ТАО.

Методика

Опыты проведены на 15 кошках, наркотизированных тиопенталом натрия (35—40 мг/кг, внутривенно), а затем обездвиженных *d*-тубокуарином (1 мг/кг, внутривенно). Для внутрикоркового раздражения ТАО (поля 5 и 7 супрасильвиевой извилины) исполь-

зовали bipolarные электроды, расстояние между которыми составляло 1,0—1,5 мм, погружали их в кору на глубину 1,5—2,0 мм. Красное ядро и волокна пирамидного тракта на уровне ножек мозга раздражали с помощью коаксиальных электродов (межполюсное расстояние 1,0 мм), введенных стереотаксически. Для стимуляции использовали одиночные толчки тока продолжительностью 0,2 мс. Сила тока при раздражении пирамидного тракта и красного ядра не превышала 0,5 мА, а при стимуляции коры — 5,0 мА.

В области максимальной амплитуды фокального ответа, вызванного одиночным раздражением ТАО, регистрировали активность нейронов МК (поле 4 г) вне клетки и внутри нее. Отведение реакций отдельных нейронов осуществляли стеклянными микроЭлектродами, заполненными раствором хлористого натрия (4 моль/л) или цитрата калия (2 моль/л). Нервные клетки МК, аксоны которых входили в состав пирамидного и кортико-рубрального трактов, а также нейроны, посылающие свой аксон в ТАО, идентифицировали на основании их антидиодных ответов при стимуляции соответствующих структур. Критерий антидиодности ответов общепринятые [19]. Расположение кончиков раздражающих электродов в пирамидном тракте и красном ядре верифицировали по локализации электролитической метки на гистологических срезах.

Результаты и их обсуждение

Исследованы реакции 141 нейрона МК на внутрикорковую стимуляцию ТАО. Установлено, что 135 (95,7 %) нейронов генерировали при этом ортодромный потенциал действия и только 6 (4,3 %) — антидиодный. У одного нейрона последней группы вслед за антидиодным импульсом возникал ортодромный. Основываясь на этих данных, можно заключить, что хотя связи между ТАО и МК являются двусторонними, афферентный вход в МК из ТАО значительно более мощный, чем вход в ТАО из МК. С этими результатами согласуются данные морфологических [18] и электрофизиологических исследований [6], согласно которым у кошек нейроны ТАО посыпают в двигательную кору значительно больше волокон, чем получают из нее.

Ортодромные импульсные реакции нейронов МК представлены одним-двумя потенциалами действия. Значения латентного периода этих ответов колебались в диапазоне от 1,8 до 20,8 мс ($6,4 \text{ мс} \pm 0,3 \text{ мс}$). В первые 5,0 мс после раздражения ТАО ортодромные ответы наблюдались у 35 %, в период 5,1—12 мс — у 60 %, а в более поздний период — у 5 % зарегистрированных нервных клеток. После стимуляции ТАО первые нейроны вовлекаются в процесс возбуждения через 1,8 мс, а через 12 мс процесс вовлечения в импульсные реакции новых нейронов в основном заканчивается. Очевидно, вслед за первичными возбудительными процессами в ответ на стимуляцию ТАО в МК развиваются тормозные реакции.

Если учитывать, что на проведение возбуждения по аксонам нейронов ТАО, идущим к МК, затрачивается 0,6—13,9 мс [6], а на синаптическую передачу и генерацию пика постсинаптического потенциала необходимо еще 1,5—2,0 мс [10], то большинство ответов, распределение латентных периодов которых представлено на рис. 1, а, имеют моносинаптическую природу и лишь некоторые из них возбуждаются полисинаптически, причем число интернейронов в этой цепи сравнительно невелико.

Нейроны, реагирующие на стимуляцию ТАО, обнаружены во всех слоях МК, за исключением первого. Большинство (77 %) реагировавших клеток выявлено на глубине 0,7—2,0 мм (см. рис. 1, б), из них наибольшая часть располагается на глубине 0,7—1,4 мм, т. е. в нижней части III слоя и в V слое. В нижней части VI слоя реагировавших нейронов обнаружено мало. Исходя из временных параметров ответов нервных клеток и глубины их залегания, можно считать, что возбуждение из ТАО первоначально поступает к нейронам III, V и VI слоев МК (см. рис. 1, а—в). Однако наиболее коротколатентные реакции возбуждения среди этих клеток зарегистрированы на глубине 1,0—1,5 мм у нейронов V слоя (см. рис. 1, а), пирамидные нейроны которого, как известно, являются нейронами выхода.

Сопоставляя результаты [5], с результатами соответствие в том, что в дражение ТАО начинают 1,5 мм, а затем (через 2—каются нейроны всего по-

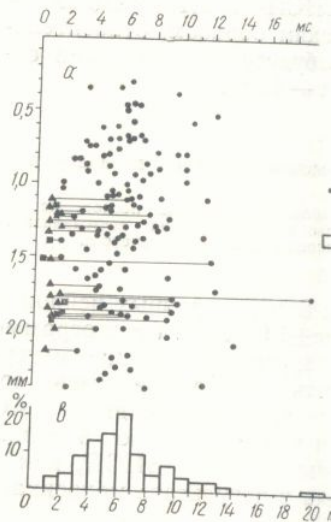


Рис. 1. Распределение нейронов в ассоциативной коре, пирамидного тракта и их латентному периоду их ответов:

а — корреляционное поле, демонстрирующее нейрона и глубиной (мм) его залегания ТАО — кружки и антидиодные от красного ядра — квадраты; ответы однажды соединены прямой; б — гистограмма р (по оси абсцисс — относительное число коры, мм); в — гистограмма распределения периодов из реакции на раздражение: относительное число нейронов, %).

Рис. 2. Различные синаптические язвы ТАО:

1 — ВПСП-пик; 2 — ВПСП-пик-ТПСП; 4 — суперпозиция пяти; 3 — двух, 5 —

что данные об организации согласуются с результатами, которых следует, что большие тосенсорной зоны, образующиеся в III и V слоях информации, поступающей из нейронов глубоких слоев МК, миграция проекций обеспечивает проекции ТАО с кортикофугальными и дуемыми проекциями организованных слоев ТАО образуют прямыми одноименными слоями в МК.

1,5 мм,
пидного
(меж-
пользова-
жении
уляции

ночным
етки и
микро-
ата ка-
ного и
, иде-
ующих
кончи-
ровали

иацию
этом
мный.
льсом
аклю-
аффе-
ход в
гиче-
кото-
ельно

влены
риода
3 мс).
люда-
юд —
ТАО
а че-
ронов
итель-
и тор-

нейро-
инап-
циала
еделе-
моно-
поли-
ельно

) всех
новав-
с наи-
жней
с ней-
нерв-
дение в
МК
збуж-
мм у
ак из-

Сопоставляя результаты, полученные методом вызванных потенциалов [5], с результатами нашего исследования, нужно отметить их соответствие в том, что в МК первичные реакции возбуждения на раздражение ТАО начинаются в глубоких слоях коры на уровне 1,0—1,5 мм, а затем (через 2—10 мс и более) в процессе возбуждения вовлекаются нейроны всего поперечника коры. Обращает на себя внимание,

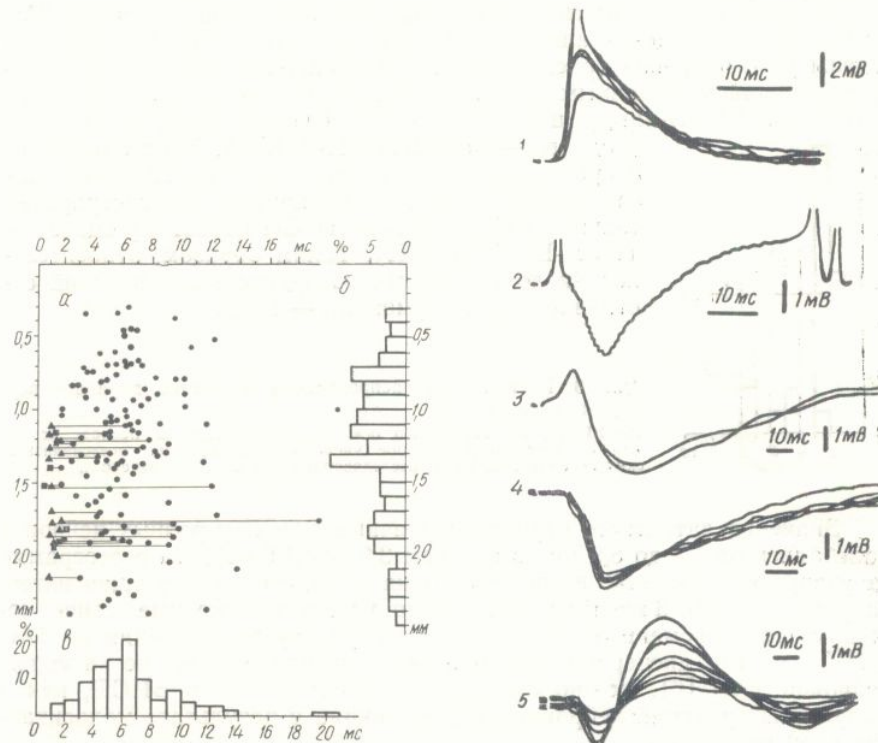


Рис. 1. Распределение нейронов моторной коры, реагирующих на стимуляцию теменной ассоциативной коры, пирамидного тракта и красного ядра, по глубине залегания и латентному периоду их ответов:

а — корреляционное поле, демонстрирующее зависимость между латентным периодом (мс) ответа нейрона и глубиной (мм) его залегания (результаты измерения ортодромных ответов на стимуляцию ТАО — кружки и антидиодных ответов на стимуляцию пирамидного тракта — треугольники, красного ядра — квадраты; ответы одного и того же нейрона на раздражение разных структур соединены прямой); б — гистограмма распределения тех же нейронов по глубине залегания в коре (по оси абсцисс — относительное число нейронов, %; по оси ординат — глубина от поверхности коры, мм); в — гистограмма распределения ортодромно отвечающих нейронов по латентным периодам их реакции на раздражение ТАО (по оси абсцисс — время, мс; по оси ординат — относительное число нейронов, %).

Рис. 2. Различные синаптические реакции нейронов моторной коры, вызванные стимуляцией ТАО:

1 — ВПСП-пик; 2 — ВПСП-пик-ТПСП; 3 — ВПСП-ТПСП; 4 — ТПСП; 5 — ТПСП-ВПСП-ТПСП (1, 4 — суперпозиция пяти; 3 — двух, 5 — десяти ответов).

что данные об организации аfferентного входа в МК из ТАО хорошо согласуются с результатами морфологических исследований, из анализа которых следует, что большинство аfferентных волокон первой соматосенсорной зоны, образующих корково-корковые связи с МК, также заканчиваются в III и V слоях последней [11]. Исходя из того, что информация, поступающая из ТАО, в первую очередь активирует нейроны глубоких слоев МК, можно предположить, что такое распределение проекций обеспечивает прямой контакт ассоциативных нейронов ТАО с кортикофугальными нервными клетками МК. Очевидно, исследуемые проекции организованы так, что нервные клетки соответствующих слоев ТАО образуют прямые связи преимущественно с нейронами одноименных слоев в МК.

При погружении микроэлектрода через кору в одних треках обнаруживали до 10 нейронов, ортодромно активирующихся при раздражении ТАО, среди которых встречались группы из двух-трех сравнительно близко лежащих клеток. В других треках (их было большинство) нейроны, отвечающие на раздражение ТАО, вовсе не обнаруживались. Эти данные указывают на локальное распределение проекций ТАО в МК.

Дополнительные возможности для характеристики влияний ТАО на нейроны МК дает анализ внутриклеточных отведений, которые проведены у 33 нейронов (рис. 2, а-д). У 17 нейронов этой группы реакция начиналась первичным возбуждением (у 10 клеток зарегистрирован ВПСП или ВПСП-пик, у шести — ВПСП-ТПСП или ВПСП-пик-ТПСП,

у одного — ВПСП-ТПСП-ВПСП). У остальных 16 нейронов МК ответ на раздражение ТАО начинался торможением (у 12 клеток зарегистрирован только ТПСП, у трех — ТПСП-ВПСП и у одного — ТПСП-ВПСП-ТПСП). Таким образом, относительное число первичных возбудительных реакций составляет 52, а тормозных — 48 %.

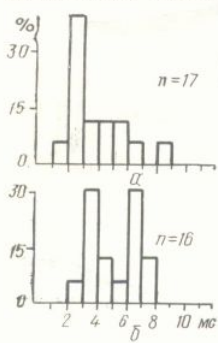


Рис. 3. Гистограмма распределения латентных периодов первичных потенциалов:
а — ВПСП; б — ТПСП. По оси абсцисс — латентный период, мс; по оси ординат — относительное число соответствующих постсинаптических потенциалов. Число исследованных нейронов обозначено *n*.

Значения латентного периода первичных ВПСП у разных нейронов колебались от 1,7 до 8,9 мс (в среднем $3,6 \text{ мс} \pm 1,0 \text{ мс}$). На гистограмме их распределения четко выявляется одна мода, соответствующая интервалу времени 2—3 мс (рис. 3, а). Если учесть изложенные выше соображения о времени, необходимом на передачу возбуждения от ТАО к МК с учетом дисперсии значений скорости проведения по аксонам нейронов ТАО [6], можно считать, что большая часть ВПСП, как и импульсных реакций нейронов МК, возникала в результате моносинаптической активации.

Время нарастания ВПСП до максимальной амплитуды составляло 1,7—8,2 мс (в среднем $4,1 \text{ мс} \pm 1,0 \text{ мс}$), а общая продолжительность — 5,0—74,6 мс (в среднем $35,7 \text{ мс} \pm 20,6 \text{ мс}$). На восходящей части ВПСП некоторых нейронов возникали дополнительные колебания, что свидетельствует об асинхронном поступлении афферентных посылок к отдельным нейронам МК. Значение амплитуды первичных ВПСП у разных нейронов колебались от 1,3 до 7,7 мВ. На вершине некоторых ВПСП возникали пиковые потенциалы (см. рис. 2, а, б).

Значения латентных периодов первичных ТПСП для разных нейронов колебались в интервале от 2,8 до 7,9 мс (в среднем $4,9 \text{ мс} \pm 0,8 \text{ мс}$). Исходя из значений латентных периодов ТПСП и числа нейронов, испытывающих эти влияния, можно выделить два основных периода развития торможения в нейронах МК под влиянием синхронных залпов, вызванных одиночным раздражением ТАО: первый — наблюдаемый на 3—5 мс, второй — на 6—8 мс после раздражения ТАО (см. рис. 3, б). При этом на гистограмме первые ТПСП и первая мода (см. рис. 3, б) возникают на 1—2 мс позже, чем соответствующие ВПСП и мода (см. рис. 3, а). ТПСП, латентный период которых составляет 2,8—5,0 мс, можно считать в основном дисинаптическими, поскольку они на 1—2 мс отстают в развитии от группы наиболее коротколатентных первичных ВПСП. Другая группа первичных ТПСП, латентный период которых составляет 6,0—7,9 мс, является, вероятно, в большинстве своем ди- и олигосинаптическими. Нельзя исключить, что некоторые из них возникают во многих областях коры при участии механизма возвратного торможения или опосредуются через внутрикорковые тормозные клетки самой МК [7—10, 22]. Не исключена возможность, что

в обоих группах некоторые синаптические влияния, падали выше, представлены введения.

Значения времени нарастания амплитуды ТПСП $3,9 \text{ мВ} \pm 1,7 \text{ мВ}$). На восходящей, который, по-видимому, хронно поступает несколько (см. рис. 2, г).

Результаты внутриклеточного при раздражении ТАО свидетельствуют о наличии у зарегистрированных нейронов МК, которые легко переходящей в трактовать как указание на МК через синапсы, части дендритов нервной интенсивно, о чем свидетельствует (см. рис. 2, б; в). Из всего многом определяет конечные пащающих к нейронам МК и печидают взаимодействие координацию разнообразную.

Очевидно, какими бы МК, эффект, оказываемый в конечном счете определяется в нейронах «выхода» МК. Тального выяснения нейрональных реакций нейронов «выхода» МК, аксоны которых входят в тракты, на стимуляции тифицированы по антидроскопии. Аксоны в пирамидный тракт все 66 нейронов реагируют на стимуляцию внимания тот факт, что клетки с бифуркацией аксона стимуляцию как пирамиды, в МК имеются нейроны, влияния из ТАО и контролирующие образований. Из МК обнаруживается связь и функционального и к пирамидной и экстрапиляризации.

Значение латентных периодов мозга и красного ядра диапазоне: 0,9—1,9 и 0,9—1,9 мс, стояние от красного ядра тракта до отводящего элестичности проведения по аксонам 15,8—33,3 м/с, а по аксонам 16,1—32,0 м/с. На этом основании исследованных кортикофугальных явлений собой (если исходить из пирамидного тракта) высокая скорость проведения возбуждения.

Кортикофугальные нейроны дают ответы на раздражение, подразделять на несколько

в обоих группах некоторые ТПСП могли возникать в результате моносинаптических влияний, поскольку исследуемые связи, как подчеркивалось выше, представлены волокнами с небольшой скоростью проведения.

Значения времени нарастания ТПСП до максимума у разных нейронов составляли 3,8—15,8 мс (в среднем $8,6 \text{ мс} \pm 1,9 \text{ мс}$), а их общая продолжительность — 14,0—127,0 мс (в среднем $61,2 \text{ мс} \pm 11,7 \text{ мс}$). Значения амплитуды ТПСП колебались от 1,7 до 8,3 мВ (в среднем $3,9 \text{ мВ} \pm 1,7 \text{ мВ}$). На восходящей части некоторых ТПСП выделялся изгиб, который, по-видимому, указывает, что к данному нейрону асинхронно поступает несколько последовательных тормозных посылок (см. рис. 2, г).

Результаты внутриклеточной регистрации активности нейронов МК при раздражении ТАО свидетельствуют о высокой эффективности синаптических влияний, поступающих из данной полисенсорной области. Наличие у зарегистрированных ВПСП быстрой восходящей фазы, нередко легко переходящей в потенциал действия (см. рис. 2, а; б), можно трактовать как указание на то, что эfferенты ТАО влияют на нейроны МК через синапсы, локализованные на соме или проксимальной части дендритов нервной клетки. ТПСП развиваются также достаточно интенсивно, о чем свидетельствует крутой обрыв начавшихся ВПСП (см. рис. 2, б; в). Из всего этого следует, что вход в МК из ТАО во многом определяет конечный результат интеграции сигналов, поступающих к нейронам МК из разных источников. Именно эти связи обеспечивают взаимодействие исследуемых зон коры, направленное на тонкую координацию разнообразных моторных актов.

Очевидно, какими бы сложными ни были влияния ТАО на нейроны МК, эффект, оказываемый при этом на функцию моторного контроля, в конечном счете определяется теми процессами, которые развиваются в нейронах «выхода» МК. Исходя из этой предпосылки, для более детального выяснения нейронной организации МК проведено изучение реакций нейронов «выхода» этой зоны коры, т. е. таких нервных клеток МК, аксоны которых входят в состав пирамидного и кортико-рубрального трактов, на стимуляцию ТАО. Из 66 нейронов, которые были идентифицированы по антидромному ответу, 17 нейронов посыпали свои аксоны в пирамидный тракт, семь — в красное ядро. В то же время все 66 нейронов реагировали на раздражение ТАО ортодромно. Заслуживает внимания тот факт, что среди этих нейронов выявлены нервные клетки с бифуркацией аксона: три нейрона отвечали антидромно на стимуляцию как пирамидного тракта, так и красного ядра. Таким образом, в МК имеются нейроны «выхода», которые испытывают прямые влияния из ТАО и контролируют деятельность как спинного мозга, так и стволовых образований. Следовательно, на уровне нейронов «выхода» из МК обнаруживается структурно-функциональные предпосылки для связи и функционального взаимодействия образований, принадлежащих к пирамидной и экстрапирамидной системам.

Значение латентных периодов антидромных ответов на стимуляцию ножек мозга и красного ядра колебались приблизительно в одинаковом диапазоне: 0,9—1,9 и 0,9—1,8 мс соответственно. Если принять, что расстояние от красного ядра и места раздражения волокон пирамидного тракта до отводящего электрода в МК составляет около 30 мм, то скорость проведения по аксонам нейронов пирамидного тракта составит 15,8—33,3 м/с, а по аксонам нейронов кортико-рубрального тракта — 16,1—32,0 м/с. На этом основании можно заключить, что большая часть исследованных кортикофугальных нейронов (около 70 %) МК представляет собой (если исходить из классификации, созданной для нейронов пирамидного тракта) быстропроводящие нервные клетки, у которых скорость проведения возбуждения по аксону превышает 20 м/с.

Кортикофугальные нейроны, у которых значения латентного периода ответов на раздражение ТАО приблизительно одинаковы, можно подразделить на несколько групп. Одна группа — нейроны «выхода»

МК, реагирующие приблизительно через 5 мс после раздражения ТАО; они обнаружены на двух уровнях от поверхности коры: 1,1—1,5 мм и 1,7—2,0 мм. Следующая группа — клетки «выхода» из МК, получающие сигналы через 6—10 мс после раздражения ТАО; эти клетки также обнаруживались на двух уровнях: 1,1—1,3 мм и 1,8—2,0 мм. В отдельную группу выделены два нейрона пирамидного тракта, ортодромные ответы которых возникали спустя более 10 мс после раздражения. При этом у одного из них латентный период составлял 12,4 мс, а у другого — 19,5 мс. Распределение кортикофугальных нейронов по глубине залегания в толще МК и латентному периоду их анти- и ортодромных ответов представлено на рис. 1, а. Обращают на себя внимание более продолжительные латентные периоды ортодромных ответов некоторых кортикофугальных нейронов VI слоя МК, среди которых были и два нейрона последней группы. Очевидно, сигналы, поступающие из ТАО к некоторым нейронам «выхода», локализованным в VI слое МК, передаются по медленнопроводящим аксонам. Возможно также, что в нейронной цепи, по которой информация из ТАО передается к кортикофугальным элементам МК, имеется большее число синаптических переключений, чем в нейронной цепи, направленной к вышележащим слоям.

Из семи клеток пирамидного тракта, у которых ортодромные пиковые потенциалы на раздражение ТАО возникали менее чем через 5 мс после стимула (моносинаптические реакции), пять можно рассматривать как нейроны с быстропроводящими аксонами. Среди остальных кортикофугальных нейронов МК обнаружены клетки как с быстропроводящими, так и с медленнопроводящими аксонами. По-видимому, моносинаптическое возбуждение нейронов «выхода» МК обеспечивает экстренный запуск механизмов управления моторной деятельностью. Необходимо отметить, что нейроны МК, направляющие аксоны в пирамидный тракт, также получают моносинаптические входы из вентро-постеро-латерального ядра таламуса [9], гипоталамуса и ретикулярной формации [2]. Не исключено, что на одних и тех же кортикофугальных нейронах оканчиваются прямые проекции перечисленных выше мозговых структур, что создает оптимальные возможности для интеграции биологически значимых сигналов на нейронах «выхода».

В течение последних 10 лет значительное внимание уделялось поискам структур головного мозга, запускающих произвольные движения [20, 21]. Одним из источников командных посылок, поступающих в МК из ТАО, считают мозжечок [13, 15]. Согласно другой точке зрения [16], аfferентные посылки из ТАО в МК проходят через своеобразный фильтр, которым является неостриатум. Данные наших исследований свидетельствуют о прямой связи полисенсорных нейронов ТАО с нейронами пирамидного и кортико-рубрального трактов МК. На этом основании можно предположить, что корково-корковые связи также играют важную роль в запуске произвольных движений. Импульсы, поступающие к нейронам МК от нейронов ТАО, принимают участие в формировании конечного результата в тех сложных взаимоотношениях возбуждения и торможения нейронов МК, которые определяют конечный результат — осуществление целенаправленного движения. Что касается информации, поступающей по cerebro-ponto-cerebellarному и cerebro-neostriatalному путям, то на основании данных литературы [20, 21] эти влияния важны не столько для инициации, сколько для коррекции произвольных движений. Следует обратить внимание, что наряду с хорошо развитыми аfferентными волокнами, поступающими к МК, ТАО имеет самостоятельный кортикофугальный выход, который представлен волокнами кортико-спинального тракта, отдающими коллатерали к МК и ядрам моста [4, 12].

NEURONAL RESPONSES OF THE TO THE PARIETAL ASSOCIATIVE

I. I. Korenyuk

Neuronal responses of the motor and parietal associative cortex were studied. The animals were thiopental and immobilized with curar. Stimulation was orthodromically with the latency recorded. The synaptic potentials showed approximately 10 ms inhibition. Pyramidal tract units were identified. The majority of units were activated by the parietal area stimulation. The participation of the parietal cortex in M. V. Frunze University, Simferopol

1. Адрианов О. С. О принципах М.: Медицина, 1976.—280 с.
 2. Баклаваджян О. Г., Еганова Е. гипоталамо-ретикулярных влияний. журн.—1982.—28, № 6.—
 3. Бусель Б. И. Реакции нейронного условного рефлекса // Нервология.—1984.—Л.: Наука, 1984.—С. 29.
 4. Коренюк И. И., Павленко В. Б. теменной ассоциативной коры по пробл. высш. нерв. деятел. 1984.—Л.: Наука, 1984.—С. 29.
 5. Коренюк И. И., Хитрова Т. В. ассоциативной области в двиг. зиол. журн.—1985.—31, № 2.—
 6. Коренюк И. И., Хитрова Т. В. корковых связей теменной ас (поле 5) с моторной корковой С. 366—372.
 7. Серков Ф. Н. О тормозящих 1982.—28, № 2.—С. 131—138.
 8. Серков Ф. Н. Нейронные и с Нейрофизиология.—1984.—16, № 2.
 9. Сторожук В. М. Функциональная: Наук. думка, 1974.—270 с.
 10. Сторожук В. М. Соматическая Наука, 1983.—С. 451—489.
 11. Толченова Г. А., Иманкулова А. нико межнейронных связей ас № 22.—С. 7—11.
 12. Усаченко Н. М. Функционально активируемых раздражением проф.-преп. состава Симферополь, 1983.—С. 106—111. № 19924Ук—84 Деп.).
 13. Allen G. I., Tsukahara N. Cerebellum 1974.—54, N 4.—Р. 957—1006.
 14. Bioulac B., Commenges D., Se of the monkey // J. Physiol., Gr.
 15. Evarts E. V., Thach W. T. Mot. tions // Ann. Rev. Physiol.—196
 16. Hassler R. Striatal control of 1 perceptive activity // J. Neurol. &
 17. Kalaska J. F., Caninuit R., Ge directions of the two-dimension comparison with motor cortex //
 18. Kawamura K. Cortico-cortical tal region // Brain Res. 1973.—t
 19. Lipski J. Antidromic activation central nervous system // J.
 20. McGeer P. H., McGeer E. G. Ti ci.—1980, 3, N 11.—3—4.
 21. Mountcastle V. B., Lynch J. C., cortex of the monkey: comman J. Neurophysiol.—1975.—38, N
 22. Renaud L. P., Kelly J. S. Simu and non-pyramidal tract neuron 1974.—79, N 1.—Р. 29—44.

10;
ти
же
ль-
ные
при-
га-
ве-
ро-
ых
ива-
АО
ре-
ей-
ко-
сих
им
ко-
мс
ри-
ых
ро-
мот-
ает
де-
ид-
те-
ор-
ых
го-
ни
ис-
ния
АК
6],
ый
ий
еи-
но-
ют
ю-
ро-
ж-
ре-
ся
ро-
йти
ини
хо-
АО
иен
АК

NEURONAL RESPONSES OF THE CAT MOTOR CORTEX
TO THE PARIETAL ASSOCIATIVE AREA STIMULATION

I. I. Korenyuk

Neuronal responses of the motor cortex (area 4) to intracortical stimulation of the parietal associative cortex were studied in acute experiments on cats anesthetized with thiopental and immobilized with d-tubocurarine. 96 % of neurons studied responded orthodromically with the latency ranged from 1.8 to 20.8 m/s. Registration of the post-synaptic potentials showed approximately equal proportion of primary excitation and primary inhibition. Pyramidal tract and cortico-rubral neurons among the motor cortex units were identified. The majority of corticofugal neurons were monosynaptically activated by the parietal area stimulation. The minimal latency responses to associative area stimulation was found in quickly conducting corticofugal neurones (20.0-33.3 m/s). Participation of the parietal cortex in the movement regulation is discussed.

M. V. Frunze University, Simferopol

1. Адрианов О. С. О принципах организации интегративной деятельности мозга.— М.: Медицина, 1976.— 280 с.
2. Баклаваджян О. Г., Еганова В. С., Мкртчян А. Г. Электрофизиологический анализ гипоталамо-ретикулярных влияний на активность нейронов моторной коры // Физiol. журн.— 1982.— 28, № 6.— С. 701—707.
3. Бусель Б. И. Реакции нейронов поля 7 коры кошки при выработке оборонительного условного рефлекса // Нейрофизиология.— 1983.— 15, № 6.— С. 580—588.
4. Коренюк И. И., Павленко В. Б., Хитрова Т. В. и др. Возможные механизмы участия теменной ассоциативной коры мозга в регуляции двигательных актов // 27 Совещ. по пробл. высш. нерв. деятельности: Тез. и реф. докл. Ленинград, 9—12 окт. 1984.— Л.: Наука, 1984.— С. 295—296.
5. Коренюк И. И., Хитрова Т. В. Электрофизиологическое изучение проекций теменной ассоциативной области в двигательную зону коры головного мозга кошки // Физiol. журн.— 1985.— 31, № 2.— С. 126—133.
6. Коренюк И. И., Хитрова Т. В. Электрофизиологическая характеристика корково-корковых связей теменной ассоциативной области коры головного мозга кошки (поле 5) с моторной корковой зоной // Физiol. журн. СССР.— 1985.— 71, № 3.— С. 366—372.
7. Серков Ф. Н. О тормозящих системах в структурах мозга // Физiol. журн.— 1982.— 28, № 2.— С. 131—138.
8. Серков Ф. Н. Нейронные и синаптические механизмы коркового торможения // Нейрофизиология.— 1984.— 16, № 3.— С. 394—403.
9. Сторожук В. М. Функциональная организация нейронов соматической коры.— Киев: Наук. думка, 1974.— 270 с.
10. Сторожук В. М. Соматическая кора // Частная физиология нервной системы.— Л.: Наука, 1983.— С. 451—489.
11. Толченова Г. А., Иманкулова Ч. С., Шевченко Н. И. Комплексный подход к изучению межнейронных связей ассоциативной коры кошки // Нерв. система.— 1980.— № 22.— С. 7—11.
12. Усаченко Н. М. Функциональные свойства нейронов теменной ассоциативной коры, активируемых раздражением пирамидного тракта // Материалы 12 науч. конф.-проф.-преп. состава Симферополь. ун-та (Симферополь, 13—15 апр., 1983 г.)— Симферополь, 1983.— С. 106—111. (рукопись деп. в УкрНИИНТИ 3 дек. 1984 г., № 19924Ук—84 Деп.).
13. Allen G. I., Tsukahara N. Cerebro-cerebellar communication systems / Physiol. Rev.— 1974.— 54, N 4.— P. 957—1006.
14. Bioulac B., Commenges D., Seal J. A sensorimotor function for neurones in area Y of the monkey // J. Physiol., Gr. Brit.— 1983.— 345.— 16.
15. Evarts E. V., Thach W. T. Motor mechanism of the CHS: cerebro-cerebellar interrelations // Ann. Rev. Physiol.— 1969.— 31, N 3.— P. 451—498.
16. Hassler R. Striatal control of locomotion, intentional actions and of integrating and perceptive activity // J. Neurol. Sci.— 1978.— 36, N 2.— P. 187—224.
17. Kalaska J. F., Caminiti R., Georgopoulos A. P. Cortical mechanisms related to the directions of the two-dimensional arm movements: relations in parietal area 5 and comparison with motor cortex // Exp. Brain Res.— 1983.— 51, N 2.— P. 247—260.
18. Kawamura K. Cortico-cortical fiber connections of the cat cerebrum. II. The parietal region // Brain Res. 1973.— 51, N 1.— P. 23—40.
19. Lipski J. Antidromic activation of the neurones as an analytic tool in the study of the central nervous system // J. Neurosci. Meth.— 1981.— 4, N 1.— P. 1—32.
20. McGeer P. H., McGeer E. G. The control of movement by the brain // Trends Neurosci.— 1980, 3, N 11.— 3—4.
21. Mountcastle V. B., Lynch J. C., Georgopoulos A. et al. Posterior parietal association cortex of the monkey: command function for operation within extrapersonal space // J. Neurophysiol.— 1975.— 38, N 4.— P. 871—908.
22. Renaud L. P., Kelly J. S. Simultaneous recordings from pericruciate pyramidal tract and non-pyramidal tract neurons; response to stimulation of inhibitory // Brain Res.— 1974.— 79, N 1.— P. 29—44.

23. Roland P. E. Organization of motor control by the normal human brain // Hum. Neurobiol.—1984.—2, N 4.—P. 205—216.
24. Seal J., Commenges D., Bioulac B. Responses of area 5 neurons to stimuli which represent instructions for movement // Behav. Brain Res.—1984.—12, N 2.—P. 231—232.
25. Strick P. L., Kim C. C. Input to primate motor cortex from posterior parietal cortex (area 5). Demonstration by retrograde transport // Brain Res.—1978.—157, N 2.—P. 325—330.

Симферопол. ун-т им. М. В. Фрунзе
МВ ССО УССР

Поступила 29.07.85

УДК 612.822.3+615.78

Действие дез-9-глицин-(8-аргинин)вазопрессина на вызванный первичный ответ различных структур головного мозга кролика

О. С. Папсуевич, В. Д. Бахарев, Г. И. Чипене

Как известно, вазопрессин, кортикотропин и другие нейропептиды оказывают выраженное влияние на электрическую активность мозга животных. Однако работы по изучению этого эффекта у аналогов вазопрессина, лишенных основных эндокринных свойств природного гормона, немногочисленны [1, 4, 12]. Актуальность проведения подобных исследований подтверждается расширяющимся применением такого аналога, как, например, дез-9-глициниамид-(8-аргинин)вазопрессин, для лечения психоневрологических заболеваний, стимуляции процессов памяти и внимания у больных и здоровых людей [8, 9]. В данной ситуации исследование электрофизиологических параметров головного мозга важно как для диагностики болезней, так и для контроля лечения нейропептидами.

Цель настоящей работы — изучение реакций различных структур головного мозга кролика в ответ на фото- и фоностимуляцию до и после введения дез-9-глицин-(8-аргинин)вазопрессина [6, 7] — синтетического аналога вазопрессина, у которого основные гормональные эффекты (вазопрессорная и антидиуретическая активности) природного нейропептида отсутствуют или весьма слабо выражены.

Методика

Работа выполнена на 32 кроликах породы шиншилла обоего пола массой ($2,1 \pm 0,2$) кг. Для регистрации суммарных вызванных потенциалов (ВП) подкорковых структур головного мозга за 10—12 сут до основного опыта на стереотаксическом приборе Сентаготт вживляли электроды по методике, подробно описанной Мещерским [5]. Координаты введения электродов представлены в табл. 1. В опытах по изучению влияния фотостимуляции исследовали структуры переднего гипоталамуса, гиппокампа, наружного коленчатого тела таламуса и зрительной области коры (поле 17), звуковой стимуляции — структуры заднего гипоталамуса, мамилярных тел, медиального коленчатого тела и слуховой зоны коры (поле 41). Электроды изготавливали из константановой проволоки диаметром 0,2 мм в эмалевой изоляции. Индифферентный электрод вводили в носовые кости черепа.

Регистрацию ВП производили с помощью установки УЭФ-ПТ-5. Полоса частот пропускания фильтров устанавливалась на уровне 10—800 Гц. ВП регистрировали методом суперпозиции 4—5 реализаций в режиме ждущей развертки при ее длительности 400 мс на фотопленку. Каждый стимул наносили через 45—60 с после предыдущего. Использовали фото-фоностимулятор «Медикор-ЭМГ-4768». Параметры белой фотовспышки с прямоугольной формой импульса следующие: длительность 100 мс, энергия 0,01 Дж. Частота звукового сигнала (высота тона) составляла 1000 Гц, длительность — 50 мс, уровень интенсивности — 18 дБ. Изолированная от внешних воздействий специальная камера и сила воздействия не выше 2—3 порядков над пороговой позволяли поддерживать постоянный уровень адаптации.

Таблица 1. Координаты введен

Область вживления электродов	от 1 каш ти
------------------------------	-------------------

Передний отдел гипоталамуса
Гиппокамп
Наружное коленчатое тело таламуса
Зрительная область коры (поле 17)

Задний отдел гипоталамуса
Мамилярное тело
Медиальное коленчатое тело
Слуховая зона коры

Анализ снятых на пленку осциллограмм ВП. Измеряли амплитуду латентного периода реакции (T_1), и фаз (T_2 и T_3). Окончательный гиппокампальный электрод осуществляли с помощью микротома. Если коагуляционные результаты этого опыта при статистике

Результаты

Действие дез-9-глицин-(8-аргинин)вазопрессина на различные структуры головного мозга в иной мере по сравнению с реакциями, увеличивалась амплитуда

Если условно обозначить укорочение латентного периода плюсами (+ + +), значит, амплитуда (+ +), значительный показатель (латентного периода) затяжел к сдвигу по отношению к влиянию ДГ-АВП на вызванные головные мозги кролика буд

Передний гипоталамус (anterior)
Гиппокамп (hippocampus)
Наружное коленчатое тело таламуса (geniculatum laterale)
Зрительная область мозга (поле 17)
Задний гипоталамус (posterior)
Мамилярные тела (mamillary)
Медиальное коленчатое тело (geniculatum mediale)
Слуховая зона коры головного мозга (поле 41)

Изменения латентного периода (A₁) представлены в табл. 2. Квадратные значения латентного периода первичного ответа изменяются точно так же, как и